



SPRAWOZDANIE NR OS/0507/23

Z POMIARÓW NATĘŻENIA PÓL ELEKTROMAGNETYCZNYCH

WYKONANYCH DLA CELÓW OCHRONY ŚRODOWISKA

Miejsce wykonania badania: <small>(dane uzyskane od zleceniodawcy)</small>	MIE3311C 39-300 Mielec, dz. nr 1059/1, pow. mielecki, woj. PODKARPACKIE	
Współrzędne geograficzne:	50°17'54.60"N, 21°26'33.16"E	
Data wykonania pomiarów:	31.10.2023	
Data wydania sprawozdania:	31.10.2023	
Zleceniodawca:	P4 sp. z o.o. ul. Wynałazek 1 02-667 Warszawa	
Sprawozdanie sporządził:	Maciej Konieczny	
Sprawozdanie autoryzował:	Wojciech Lubiński	

1. INFORMACJE O UŻYTKOWNIKU

1.1. Zleceniodawca: P4 sp. z o.o. ul. Wynalazek 1, 02-667 Warszawa

1.2. Charakterystyka obiektu:

- **Typ obiektu:** Instalacja radiokomunikacyjna zainstalowana na wieży strunobetonowej
- **Numer obiektu:** MIE3311C
- **Adres obiektu:** 39-300 Mielec, dz. nr 1059/1, pow. mielecki, woj. PODKARPACIE
- **Współrzędne geograficzne:** 50°17'54.60"N, 21°26'33.16"E

2. CHARAKTERYSTYKA ŹRÓDEŁ PEM (dane pozyskane od Klienta)

Tabela 1. Parametry systemu nadawczo-odbiorczego

Charakterystyka promieniowania				kierunkowa					
Rzeczywisty czas pracy [h/dobę]				Całodobowa 24h					
Warunki pracy				Znamionowe					
Rodzaj wytwarzanego pola				stacjonarne					
Lp.	Typ nadajnika	Antena Producent / Typ	Azymut [°]	Wysokość środka elektr. anteny [m n.p.t.]	Pasma [Mhz]	Kąt nachylenia [°]	EIRP dla anteny [W]	LON	LAT
1	RBS6xxx/2xxx/4xxx	Huawei ATR4518R6	100	35	800	0 - 10	1588	21°26'33.16"E	50°17'54.60"N
	RBS6xxx/2xxx/4xxx				2600	0 - 10		21°26'33.16"E	50°17'54.60"N
2	RBS6xxx/2xxx/4xxx	Huawei ATR4518R6	100	35	900	0 - 10	2418	21°26'33.16"E	50°17'54.60"N
	RBS6xxx/2xxx/4xxx				1800	0 - 10		21°26'33.16"E	50°17'54.60"N
	RBS6xxx/2xxx/4xxx				2100	0 - 10		21°26'33.16"E	50°17'54.60"N

Tabela 2. Parametry radiolinii

Charakterystyka promieniowania				kierunkowa					
Rzeczywisty czas pracy [h/dobę]				24					
Rodzaj wytwarzanego pola				stacjonarne					
Linia radiowa				Antena					
Lp.	Typ nadajnika	Częstotliwość pracy [GHz]	Moc wyjściowa [dBm]	Typ/produc nt	Średnica anteny [m]	Azymut [°]	Wysokość zainstal. [m]	LON	LAT
1	OPTIX RTN/HUAWEI	80	19	0.3-80(VHLP1-80)	0,3	268	34,4	21°26'33.16"E	50°17'54.60"N

Inne źródła PEM: W obszarze pomiarowym badanego obiektu **nie występują** inne źródła promieniowania pola elektromagnetycznego, które w zakresie badanych częstotliwości bezpośrednio wpływają na wynik wartości mierzonej natężenia pola.

3. OPIS POMIARÓW

Cel badań: Sprawdzenie dotrzymania dopuszczalnych poziomów pól elektromagnetycznych, w otoczeniu instalacji wytwarzających takie pola.

3.1. Data pomiarów: 31.10.2023

3.2. Nazwiska osób wykonujących pomiary: Bartosz Piotrowski

3.3. Osoba towarzysząca: brak

3.4. Aparatura pomiarowa:

Tabela 3. Opis zestawu pomiarowego

Nazwa	Typ/model	Numer fabryczny/SN	Świadectwo wzorcowania	Zastosowanie
Szerokopasmowy miernik natężenia pola elektromagnetycznego	NBM- 520	D-2228	LWiMP/W/088/22 z dnia 19.05.2022 (Laboratorium Wzorców i Metrologii Pola Elektromagnetycznego Instytutu Telekomunikacji, Teleinformatyki i Akustyki Politechniki Wrocławskiej)	Pomiary pola elektromagnetycznego
Sonda pomiarowa pola elektrycznego	EF-9091	A-0139		
Szerokopasmowy miernik natężenia pola elektromagnetycznego	NBM- 520	D-2188	LWiMP/W/56/23 z dnia 17.02.2023 (Laboratorium Wzorców i Metrologii Pola Elektromagnetycznego Instytutu Telekomunikacji, Teleinformatyki i Akustyki Politechniki Wrocławskiej)	
Sonda pomiarowa pola elektrycznego	EF-0691	J-0214		
Termohigrometr	ETI 600 224-600	D22060186	LPTW/326/2022 z dnia 10.05.2022 (LPTW)	Pomiary wilgotności względnej powietrza Pomiary temperatury powietrza
Dalmierz laserowy	PLR30C	221208895	45854/1 /2022 z dnia 17.05.2022 (Laboratorium pomiarowe LABOTRONIC)	Pomiar odległości
Odbiornik GPS	Garmin GLO2	1792A-A1156/5PS066633	-	Pomiar współrzędnych geograficznych

3.5. Wyznaczenie niepewności pomiarów:

Ocenę niepewności przyjmuje się zgodnie z procedurą stosowaną w laboratorium.

Wyznaczona rozszerzona niepewność pomiaru dla współczynnika rozszerzenia $k = 2$ dla zestawu pomiarowego z pkt.3.5 w dniu pomiaru wynosi 21,46%.

3.6. Kryteria przedstawiania stwierdzeń zgodności

Niniejsze sprawozdanie zgodnie z zasadami systemu akredytacji zawiera stwierdzenia zgodności.

W przypadku badań poziomów pola elektromagnetycznego w środowisku stwierdzenie zgodności dotyczy rozstrzygnięcia, czy zmierzona wartość opisująca pole elektromagnetyczne przekracza wartość dopuszczalną dla zakresu częstotliwości, w którym pracują źródła podane w Rozporządzeniu Ministra Zdrowia z dnia 17 grudnia 2019 r. w sprawie dopuszczalnych poziomów pól elektromagnetycznych w środowisku (Dz. U. z 2019 r. poz. 2448).

3.7. Metodyka wykonania pomiarów:

Zastosowano metodę znormalizowaną w oparciu o Rozporządzenie Ministra Klimatu i Środowiska z dnia 6 maja 2022 r. zmieniające rozporządzenie w sprawie sposobów sprawdzania dotrzymania dopuszczalnych poziomów pól elektromagnetycznych w środowisku (Dz.U. 2022 poz. 1121).

3.8. Przepisy prawne:

- Ustawa z dnia 27 kwietnia 2001 r. Prawo ochrony środowiska (Dz. U. 2022 poz. 2556).
- Rozporządzenie Ministra Zdrowia z dnia 17 grudnia 2019 r. w sprawie dopuszczalnych poziomów pól elektromagnetycznych w środowisku (Dz. U. z 2019 r. poz. 2448).
- Rozporządzenie Ministra Klimatu z dnia 17 lutego 2020 r. w sprawie sposobów sprawdzania dotrzymania dopuszczalnych poziomów pól elektromagnetycznych w środowisku Załącznik do obwieszczenia Ministra Klimatu i Środowiska z dnia 21 listopada 2022 r. (Dz. U. poz. 2630)

3.9. Opis pomiarów

Stacja bazowa MIE3311C usytuowana jest na wieży strunobetonowej zlokalizowanej pod adresem 39-300 Mielec, dz. nr 1059/1, pow. mielecki, woj. PODKARPACKIE. Anteny i moduły RRU zamontowane są na antenowych konstrukcjach wsporczych a urządzenia są w szafie APM zainstalowanej u podnóża wieży. W otoczeniu stacji zlokalizowana jest zabudowa użyteczności publicznej oraz zabudowa usługowa. Analiza parametrów technicznych wykazała, że urządzenia nadawcze stacji pracują w paśmie częstotliwości zgodnie z tabelą 1 oraz tabelą 2. Moc wyjściowa nadajników doprowadzona jest do anten przy pomocy ekranowanych fiderów.

Pomiary w otoczeniu Stacji bazowej wykonano wzdłuż kierunków maksymalnego zasięgu oddziaływania pola elektromagnetycznego na azymucie anten sektorowych do odległości określonej zgodnie z wytycznymi zawartymi w instrukcji wykonywania pomiarów, w godzinach od 14:50 do 15:40, podczas rzeczywistej pracy urządzeń wytwarzających pola elektromagnetyczne. Pomiary wykonano dla średniego pochylecia wiązki liczonego jako średnia arytmetyczna z minimalnej i maksymalnej wartości stosowanego lub planowanego kąta pochylecia

Pomiary w przyjętych pionach pomiarowych wykonano w punktach położonych na wysokościach od 0,3 m do 2,0 m nad powierzchnią ziemi lub nad innymi powierzchniami, na których mogą przebywać ludzie, przyjmując za wynik pomiaru maksymalny poziom natężenie pól elektromagnetycznego.

Przy doborze pionów pomiarowych uwzględniono charakter i sposób zagospodarowania terenu otaczającego stację bazową.

3.10. Warunki meteorologiczne / środowiskowe:

Miejsce pomiaru	Temperatura (Minimalna/Maksymalna) [°C]	Wilgotność (Minimalna/Maksymalna) [%]	Opady atmosferyczne
Ulica	19,0/19,1	54,2/54,3	nie wystąpiły

3.11. Sposób identyfikacji widma częstotliwości:

Parametry stacji bazowej uzyskane od właściciela instalacji stacji bazowej.

4. WYNIKI POMIARÓW

Wyniki pomiarów ważne są jedynie dla danej konfiguracji urządzeń w dniu, w którym wykonano pomiary.

Wynik pomiaru, to maksymalna wartości chwilowa zmierzona w danym pionie pomiarowym powiększona o rozszerzoną niepewność pomiaru U dla współczynnika rozszerzenia $k = 2$.

Tabela 3. Dopuszczalne poziomy pól elektromagnetycznych

Parametr fizyczny	Składowa elektryczna	Składowa magnetyczna
Zakres częstotliwości pola elektromagnetycznego		
od 400 MHz do 2000 MHz	$1,375 \times f^{0,5}$ V/m	$0,00375 \times f^{0,5}$ A/m
Od 2 GHz do 300 GHz	61 V/m	0,16 A/m

Do wyznaczania wartości wskaźnikowych WM_E i WM_H przyjęto najniższe wartości dopuszczalne poziomów pól elektromagnetycznych w/w zakresach częstotliwości.

Tabela 4. Wyniki pomiarów

Nr pionu	Opis miejsca pomiaru	Pomiar wewnątrz pomieszczenia	Współrzędne geograficzne		Wynik poniżej progu detekcji	E_p [V/m]	U [V/m]	$E_p + U$ [V/m]	H [A/m]	WM_E	WM_H	Przekroczenie wartości dopuszczalnej
			[°] N	[°] E								
1	Poziom gruntu - os głównej wiązki anteny sektorowej azymut 100st	NIE	50,298471710	21,442747913	NIE	1,40	0,31	1,71	0,005	0,06	0,061	nie przekracza
2	Poziom gruntu - os głównej wiązki anteny sektorowej azymut 100st	NIE	50,298442317	21,443014992	NIE	1,22	0,27	1,49	0,004	0,05	0,053	nie przekracza
3	Poziom gruntu - os głównej wiązki anteny sektorowej azymut 100st	NIE	50,298357588	21,443119831	NIE	1,34	0,29	1,63	0,004	0,06	0,058	nie przekracza
4	Poziom gruntu - pomocniczy pion pomiarowy	NIE	50,298303207	21,443311386	NIE	1,20	0,26	1,46	0,004	0,05	0,052	nie przekracza
5	Poziom gruntu - pomocniczy pion pomiarowy	NIE	50,298182120	21,443681854	NIE	1,23	0,27	1,50	0,004	0,05	0,054	nie przekracza
6	Poziom gruntu - pomocniczy pion pomiarowy	NIE	50,298444148	21,443493300	NIE	1,07	0,23	1,30	0,003	0,05	0,047	nie przekracza
7	Poziom gruntu - pomocniczy pion pomiarowy	NIE	50,298574434	21,443417000	NIE	1,09	0,24	1,33	0,004	0,05	0,048	nie przekracza
8	Poziom gruntu - pomocniczy pion pomiarowy	NIE	50,298748876	21,443502368	NIE	0,96	0,21	1,17	0,003	0,04	0,042	nie przekracza

Nr pionu	Opis miejsca pomiaru	Pomiar wewnątrz pomieszczenia	Współrzędne geograficzne		Wynik poniżej progu detekcji	E _p [V/m]	U [V/m]	E _p + U [V/m]	H [A/m]	WME	WMH	Przekroczenie wartości dopuszczalnej
			[°] N	[°] E								
9	Poziom gruntu - pomocniczy pion pomiarowy	NIE	50,298726275	21,444044935	NIE	1,05	0,23	1,28	0,003	0,05	0,046	nie przekracza
10	Poziom gruntu - pomocniczy pion pomiarowy	NIE	50,298551998	21,444483645	NIE	0,90	0,20	1,10	0,003	0,04	0,039	nie przekracza
11	Poziom gruntu - oś głównej wiązki anteny sektorowej azymut 100st	NIE	50,298291343	21,444374200	NIE	1,23	0,27	1,50	0,004	0,05	0,054	nie przekracza
12	Poziom gruntu - pomocniczy pion pomiarowy	NIE	50,298169607	21,444243492	NIE	1,20	0,26	1,46	0,004	0,05	0,052	nie przekracza
13	Poziom gruntu - pomocniczy pion pomiarowy	NIE	50,297987638	21,443917540	NIE	1,04	0,23	1,27	0,003	0,05	0,046	nie przekracza
14	Poziom gruntu - pomocniczy pion pomiarowy	NIE	50,297775338	21,443703582	NIE	0,94	0,21	1,15	0,003	0,04	0,041	nie przekracza
15	Poziom gruntu - pomocniczy pion pomiarowy	NIE	50,297862480	21,443284431	NIE	0,90	0,20	1,10	0,003	0,04	0,039	nie przekracza
16	Poziom gruntu - pomocniczy pion pomiarowy	NIE	50,298089201	21,443012182	TAK	<0,80	0,18	0,98	0,003	0,04	0,035	nie przekracza
17	Poziom gruntu - pomocniczy pion pomiarowy	NIE	50,298455123	21,444999472	NIE	1,20	0,26	1,46	0,004	0,05	0,052	nie przekracza
18	Poziom gruntu - pomocniczy pion pomiarowy	NIE	50,298438136	21,445341429	NIE	0,94	0,21	1,15	0,003	0,04	0,041	nie przekracza
19	Poziom gruntu - oś głównej wiązki anteny sektorowej azymut 100st	NIE	50,298145604	21,445616844	NIE	1,20	0,26	1,46	0,004	0,05	0,052	nie przekracza
20	Poziom gruntu - oś głównej wiązki anteny sektorowej azymut 100st	NIE	50,298197757	21,445132574	NIE	0,96	0,21	1,17	0,003	0,04	0,042	nie przekracza
21	Poziom gruntu - oś głównej wiązki anteny sektorowej azymut 100st	NIE	50,298119372	21,445869109	NIE	0,93	0,20	1,13	0,003	0,04	0,041	nie przekracza
22	Poziom gruntu - oś głównej wiązki anteny radioliniowej azymut 268st	NIE	50,298486908	21,442158021	NIE	1,05	0,23	1,28	0,003	0,05	0,046	nie przekracza
23	Poziom gruntu - oś głównej wiązki anteny radioliniowej azymut 268st	NIE	50,298467816	21,441336000	NIE	0,96	0,21	1,17	0,003	0,04	0,042	nie przekracza
24	Poziom gruntu - pomocniczy pion pomiarowy	NIE	50,298307322	21,442411815	NIE	1,09	0,24	1,33	0,004	0,05	0,048	nie przekracza
25	Poziom gruntu - pomocniczy pion pomiarowy	NIE	50,298248135	21,442735844	NIE	0,96	0,21	1,17	0,003	0,04	0,042	nie przekracza
26	Poziom gruntu - pomocniczy pion pomiarowy	NIE	50,298252772	21,442855013	NIE	0,82	0,18	1,00	0,003	0,04	0,036	nie przekracza
27	Poziom gruntu - pomocniczy pion pomiarowy	NIE	50,298643748	21,443168662	NIE	0,96	0,21	1,17	0,003	0,04	0,042	nie przekracza
28	Poziom gruntu - pomocniczy pion pomiarowy	NIE	50,298699855	21,442877923	NIE	0,82	0,18	1,00	0,003	0,04	0,036	nie przekracza
29	Poziom gruntu - pomocniczy pion pomiarowy	NIE	50,298696692	21,442179032	NIE	0,90	0,20	1,10	0,003	0,04	0,039	nie przekracza
30	Poziom gruntu - pomocniczy pion pomiarowy	NIE	50,298716620	21,441797239	NIE	0,85	0,19	1,04	0,003	0,04	0,037	nie przekracza
31	Poziom gruntu - pomocniczy pion pomiarowy	NIE	50,298587621	21,441478434	TAK	<0,80	0,18	0,98	0,003	0,04	0,035	nie przekracza

Nr pionu	Opis miejsca pomiaru	Pomiar wewnątrz pomieszczenia	Współrzędne geograficzne		Wynik poniżej progu detekcji	E_p [V/m]	U [V/m]	$E_p + U$ [V/m]	H [A/m]	WM _E	WM _H	Przekroczenie wartości dopuszczalnej
			[°] N	[°] E								
32	Poziom gruntu - pomocniczy pion pomiarowy	NIE	50,298295814	21,441656754	TAK	<0,80	0,18	0,98	0,003	0,04	0,035	nie przekracza
33	Poziom gruntu - pomocniczy pion pomiarowy	NIE	50,298331014	21,441907569	TAK	<0,80	0,18	0,98	0,003	0,04	0,035	nie przekracza

Objaśnienia:

$$E_p: E_{poprawne} = E_{wskazane} * C_{d(E)} * C_{f(f)}$$

U - rozszerzona niepewność pomiaru dla współczynnika rozszerzenia $k=2$ (poziom ufności 95%) – $U = k \times U_c$

H – wyznaczona wartość natężenia pola magnetycznego z uwzględnieniem współczynnika korekcyjnego oraz rozszerzonej niepewności pomiaru.

WM_E - wartość wskaźnikowa poziomu oddziaływania pól elektromagnetycznych dla miejsc dostępnych dla ludności dla składowej elektrycznej pola.

WM_H - wartość wskaźnikowa poziomu oddziaływania pól elektromagnetycznych dla miejsc dostępnych dla ludności dla składowej magnetycznej pola.

* Wynik poniżej progu detekcji - wartość zmierzona poniżej zakresu akredytacji. Do obliczeń przyjęto wartość zgodną z dolną granicą akredytowanego zakresu pomiarowego metody.

5. WNIOSKI

Stwierdza się, iż na podstawie uzyskanych wyników pomiarów i informacji uzyskanych od operatora, w otoczeniu stacji bazowej telefonii komórkowej MIE3311C w miejscach dostępnych dla ludności, w których dokonano pomiaru, nie zostały przekroczone wartości graniczne poziomów pól elektromagnetycznych określonych w Rozporządzeniu Ministra Zdrowia z dnia 17 grudnia 2019 r. w sprawie dopuszczalnych poziomów pól elektromagnetycznych w środowisku (Dz. U. z 2019 r. poz. 2448).

Stwierdzenie zgodności zostało przedstawione na podstawie wyników badań oraz informacji uzyskanych od klienta (za które Laboratorium nie ponosi odpowiedzialności) dla instalacji opisanej w punkcie 2. Stwierdzenia zgodności dokonano na podstawie zasady podejmowania decyzji i wymagań zawartych w załączniku do Rozporządzenia Ministra Klimatu z dnia 17 lutego 2020 r. w sprawie sposobów sprawdzania dotrzymania dopuszczalnych poziomów pól elektromagnetycznych w środowisku (Dz.U. 2022 poz. 2630 z 15.12.2022r.).

- Sprawozdanie zawiera 7 stron
- załączniki: nr 1 – mapa z rozmieszczeniem pionów pomiarowych wokół obiektu

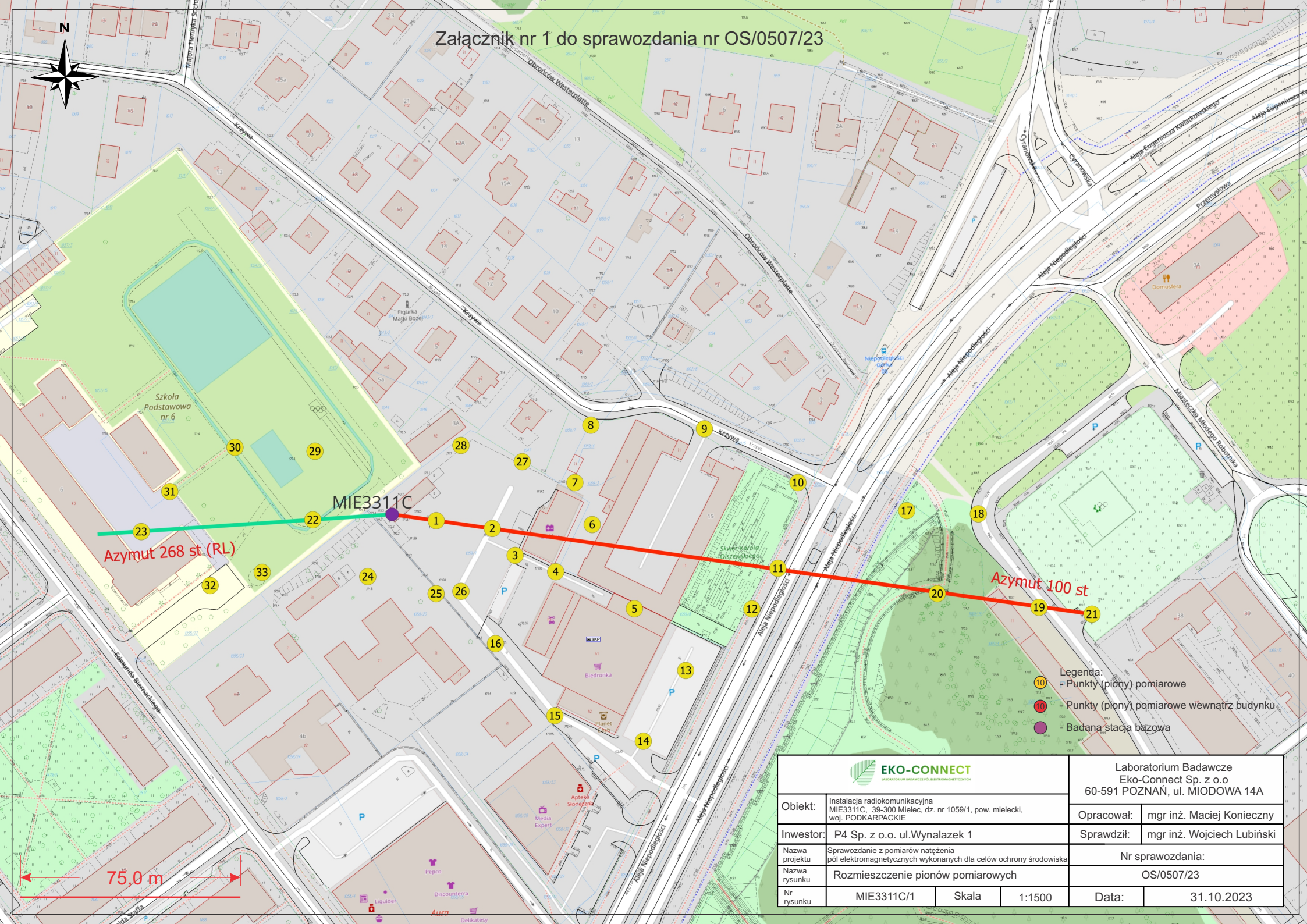
Bez pisemnego zezwolenia laboratorium Eko-Connect sprawozdanie nie może być powielane inaczej, jak tylko w całości.

■ Otrzymują:

1. Zleceniodawca: - 1 egz.
2. a / a: 1 egz.

Koniec sprawozdania

Załącznik nr 1 do sprawozdania nr OS/0507/23



- Legenda:
- - Punkty (piony) pomiarowe
 - - Punkty (piony) pomiarowe wewnątrz budynku
 - - Badana stacja bazowa

 LABORATORIUM BADAWCZE PÓŁ ELEKTROMAGNETYCZNYCH		Laboratorium Badawcze Eko-Connect Sp. z o.o 60-591 POZNAŃ, ul. MIODOWA 14A	
Objekt:	Instalacja radiokomunikacyjna MIE3311C, 39-300 Mielec, dz. nr 1059/1, pow. mielecki, woj. PODKARPACIE	Opracował:	mgr inż. Maciej Konieczny
Investor:	P4 Sp. z o.o. ul. Wyzalezek 1	Sprawdził:	mgr inż. Wojciech Lubiński
Nazwa projektu	Sprawozdanie z pomiarów natężenia pól elektromagnetycznych wykonanych dla celów ochrony środowiska	Nr sprawozdania:	
Nazwa rysunku	Roźmieszczenie pionów pomiarowych	OS/0507/23	
Nr rysunku	MIE3311C/1	Skala	1:1500
		Data:	31.10.2023